

УДК 537.521.7

ЛЕВАЯ ВЕТВЬ КРИВОЙ ПАШЕНА В ГЕЛИИ

К. Н. Ульянов, В. В. Чулков

Численно методом Монте—Карло рассчитана кривая Пашена в гелии для E/P до $6 \cdot 10^3$ В/м·Па. Показано, что основными процессами образования заряженных частиц в этой области таунсендовского разряда являются эмиссия электронов под действием бомбардировки катода ионами и быстрыми атомами, образовавшимися в разрядном промежутке при перезарядках ионов, а также объемная ионизация газа электронным ударом. Показано, что трехзначность зависимости напряжения зажигания разряда от Pd в левой ветви кривой Пашена для гелия связана с тем, что значение E/P , при котором средняя энергия быстрых атомов соответствует пороговой для кинетического механизма вырывания электронов с поверхности металла, больше E/P , при котором частота ионизации электронным ударом максимальна. Результаты расчетов удовлетворительно согласуются с экспериментальными данными.

1. Известно, что лавинный механизм пробоя возможен при относительно низких значениях произведения давления газа P на размер промежутка d (менее $(Pd)_{kp} \sim 10^2$ м·Па). Теория Таунсенда [1] хорошо описывает экспериментально наблюдаемые зависимости напряжения зажигания таких разрядов U_3 для $Pd < (Pd)_{kp}$. Существует ограничение на область применимости таунсендовской теории со стороны малых значений Pd , где размер промежутка становится сравнимым с длиной, на которой происходит установление стационарного энергетического распределения электронов λ_e . Количественное описание таких разрядов отсутствует. Вместе с тем в этой области Pd экспериментально наблюдается ярко выраженное явление, на наш взгляд, связанное с кинетическими эффектами.

В гелии вблизи минимума кривая Пашена имеет необычную форму. Существует аномальная область [2–4], в которой каждому значению Pd могут соответствовать три значения U_3 . Причины появления этой области окончательно не установлены. Численное моделирование пробоя методом Монте—Карло, предпринятое в [5], показало, что появление второго участка с положительным наклоном кривой $U_3(Pd)$ связано с появлением «убегающих» электронов. При некотором значении Pd кривая $U_3(Pd)$ вновь поворачивает влево. В [2–4, 6] высказывается несколько предположений относительно появления третьего значения U_3 . Нам представляется целесообразным с целью создания модели таунсендовского разряда в левой ветви кривой Пашена на основе численной модели движения заряженных частиц методом Монте—Карло с более сложной кинетической ионизации, чем в [5], проанализировать влияние различных элементарных процессов на зажигание таунсендовского разряда в гелии и выявить основные закономерности.

2. Рассмотрим пробой газа между плоскими электродами в однородном внешнем поле. Электроны выходят из катода за счет вторичной электронной эмиссии под действием ударов ионов, метастабильных атомов и атомов в основном состоянии. На аноде учитем вторичную электронную эмиссию. При движении заряженных частиц через газ учтем следующие процессы: ионизацию и возбуждение электронных состояний атомов электронным ударом; перезарядку ионов; ионизацию газа ионами, метастабильными атомами и быстрыми атомами, образовавшимися в результате перезарядки ионов на атомах.

Модель расчета методом Монте—Карло представляет собой модификацию метода, описанного в [⁵, ⁷], и состоит в последовательном вычислении параметров электрона (его положения, скорости и угла между направлением движения и вектором электрического поля) на отрезках траектории $\Delta\lambda$, длина которых много меньше длины свободного пробега λ .

Отношение $\Delta\lambda/\lambda$ в зависимости от величины параметра E/P в расчетах изменялась от 0.05 до 0.001 и выбиралось таким образом, чтобы всегда выполнялось условие

$$eE\Delta\lambda/\varepsilon_1 \ll 1, \quad (1)$$

где ε_1 — порог возбуждения первого электронного уровня атома. При столкновениях электрона с атомами его параметры изменяются скачком. Параметры первичного электрона, а также параметры вторичного электрона в случае ионизации атома гелия определялись при розыгрыше случайной величины, распределение плотности вероятности которой определялось дифференциальным сечением соответствующего типа столкновения. Энергия электронов, эмиттированных с катода за счет γ -процессов, как правило, мала [⁸] и много меньше средней энергии электронов в разряде. Для удобства расчетов примем ее равной 0.1 эВ. Начальное направление движения предполагалось изотропным и моделировалось при помощи случайной величины, равномерно распределенной от 0 до $\pi/2$. Розыгрыш каждого электрона продолжался до тех пор, пока он, а также все вторичные электроны, образовавшиеся в электронной лавине в результате процессов ионизации (электронами, ионами и т. д.) и в результате неупругого отражения электронов на аноде, не поглощались анодом. На аноде было задано следующее граничное условие. При достижении электрона с энергией e анода с вероятностью, равной коэффициенту неупругого отражения $K_{\text{отр}}(\varepsilon)$, он изотропно отражался от анода. С вероятностью $1 - K_{\text{отр}}$ электрон поглощался анодом. Энергетическое распределение отраженных электронов и $K_{\text{отр}}(\varepsilon)$ взяты из [⁹]. При $\varepsilon < 20$ эВ рассеяние электрона при упругих столкновениях предполагалось изотропным. При $\varepsilon > 20$ эВ дифференциальное сечение упругих столкновений σ_y аппроксимировалось аналогично [¹⁰] выражением

$$\sigma_y \sim \exp\left(-a\varepsilon^{1/2} \sin \frac{\alpha_p}{2}\right), \quad (2)$$

где ε — энергия электрона (эВ), $a = 0.521 + 0.000597$, α_p — угол рассеяния электрона.

Постоянная a выбиралась из условия минимального среднеквадратичного отклонения (2) от данных [¹¹, ¹²]. Дифференциальные сечения ионизации гелия электронным ударом заимствовались из [¹³] и нормировались таким образом, чтобы полное сечение совпало бы с экспериментальными данными из [¹⁴]. Предполагалось, что распределение вторичных электронов является изотропным, что согласуется с экспериментом [¹⁵], а угол рассеяния первичного электрона определялся из законов сохранения импульса и энергии [¹⁶]. При этом пренебрегалось импульсом и энергией атома гелия. В расчетах учитывалось возбуждение электронным ударом энергетических уровней гелия. Сечение возбуждения метастабильного состояния гелия взято из [⁷]. Все остальные уровни объединялись в один с эффективным сечением из [⁷]. Рассеяние электронов при возбуждении электронных уровней предполагалось изотропным.

Здесь рассматриваются такие Pd , когда длина свободного пробега ионов λ , много меньше d . В этом случае можно считать, что движение ионов происходит в режиме подвижности. Энергетическое распределение ионов по энергии $f_i(\varepsilon)$ соответствует распределению Больцмана [¹⁷] с температурой

$$T_i = E/\sigma_h N,$$

где σ_h — сечение перезарядки ионов, N — плотность газа.

Рассмотрим модель, в которой образование «быстрых» атомов происходит при перезарядках. Потери «быстрых» атомов происходят в столкновениях с атомами. После столкновения «быстрый» атом выбывает из рассмотрения. Такая модель хорошо описывает хвост энергетического распределения быстрых

атомов, что важно для вычисления скорости ионизации атомов гелия, и несколько хуже — низкоэнергетическую часть. При постоянном сечении столкновения атомов σ_a для энергетического распределения быстрых атомов имеем $f_a(\varepsilon) \approx f_i(\varepsilon)$, и их концентрация n_a может быть определена следующим образом:

$$n_a = n_i \frac{\sigma_a}{\sigma_a}.$$

Коэффициент Таунсенда ионизации ионами β с учетом ионизации быстрыми атомами определялся следующим образом:

$$\beta = \frac{(n_i + n_a) \int_0^{\infty} v \sigma_{ia} f_a(v) dv}{n_i \int_0^{\infty} v f_a(v) dv}. \quad (3)$$

В (3) предполагалось, что сечение ионизации ионами σ_{ii} равно сечению ионизации быстрыми атомами σ_{in} . Величины сечений заимствовались из [18].

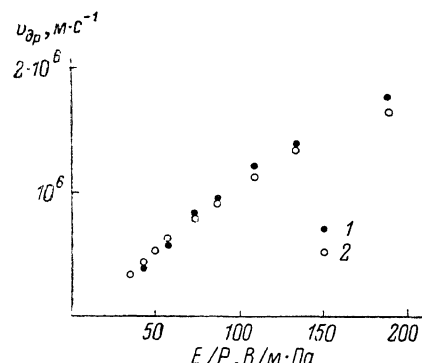


Рис. 1. Зависимость дрейфовой скорости электронов для гелия от E/P .
1 — расчет, 2 — эксперимент [20].

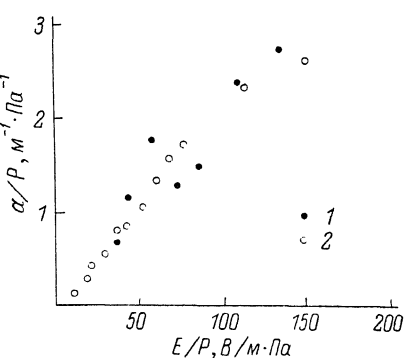


Рис. 2. Зависимость первого коэффициента Таунсенда для гелия от E/P .
1 — расчет, 2 — эксперимент [21].

В наших расчетах, как правило, выполнялось условие $\beta d \leq 1$. Формирование ионной лавины моделировалось с помощью случайного процесса. Розыгрыш ионов осуществлялся следующим образом. Датчик случайной величины, плотность вероятности которой равномерно распределена от 0 до 1, генерировало случайное число Q . Если

$$Q > e^{-\beta(d-x_{i0})},$$

где x_{i0} — начальное положение иона, то считалось, что при движении иона образовалась новая электрон-ионная пара, а ее начальная координата x_i вычислялась следующим образом:

$$x_i = x_{i0} - \frac{\ln Q}{\beta}. \quad (4)$$

Энергия вторичных электронов мала и для удобства расчетов принималась равной 0.1 эВ. Направление движения моделировалось случайной величиной, равномерно распределенной в интервале от $-\pi/2$ до $\pi/2$.

Сечения возбуждения метастабилей ионами и быстрыми атомами взяты из [10]. Вторые коэффициенты Таунсенда для ионов γ_i и быстрых атомов γ_a заимствованы из [18]. Величина γ_m для метастабильных атомов предполагалась равной γ_i [19]. Вклад в γ метастабилей оценивался из условия, что половина из них общего числа достигает катода.

3. Для проверки расчетной модели были вычислены зависимости величин дрейфовой скорости электронов v_{dr} и первого коэффициента Таунсенда α от E/P .

Значения v_{dp} получены усреднением компоненты скорости электрона вдоль вектора электрического поля, а величина α как среднее число актов ионизации на единице длины дрейфа электронов. При розыгрыше отдельного электрона учитывались события, при которых электрон проходил точку x «измерения» в направлении поля и против него, а также вклад вторичных электронов. Расстояние от начальной точки x_0 , с которой начиналось моделирование движения электрона, до точки x выбиралось так, чтобы оно было бы больше расстояния λ_{yer} , на котором происходит установление стационарных значений переносных коэффициентов. Величина λ_{yer} определялась численно.

На рис. 1, 2 приведены результаты расчетов v_{dp} и α , полученные усреднением по ансамблю из 200—500 электронов. Большой разброс расчетных значений α по сравнению с v_{dp} относительно экспериментальных точек объясняется малой вероятностью ионизации при прохождении электроном интервала Δx , в котором проводилось определение α .

Напряжение зажигания разряда определялось из условия стационарности разряда

$$\sum \bar{n}_k \sum \langle \gamma_k \rangle = 1, \quad (5)$$

где \bar{n}_k — среднее число электрон-ионных пар, образовавшихся при прохождении электроном разрядного промежутка, за счет объемной ионизации газа электронным ударом ($k=e$) и объемной ионизации газа ионами и быстрыми атомами ($k=a$); $\langle \gamma_k \rangle$ — эффективный коэффициент электронной эмиссии при бомбардировке поверхности катода ионами ($k=i$), быстрыми атомами ($k=a$) и метастабильными атомами ($k=m$). Величина $\langle \gamma_k \rangle$ определялась как отношение среднего числа электронов, эмиттированных с катода за счет соответствующего процесса, к среднему числу электрон-ионных пар, образовавшихся в электронной и ионной лавинах, при прохождении промежутка электроном, эмиттированным с поверхности катода.

Оценка эмиссии электронов под действием квантов света, испускаемых возбужденными атомами гелия, образовавшими в результате неупругих соударений электронов, показала, что вероятность этого процесса при $E/P > 5 \times 10^2$ В/м·Па мала по сравнению с γ_i . Вероятность фотоэффекта заимствована из [2].

Для вычисления U_3 выполнялись расчеты \bar{n}_k и $\langle \gamma_k \rangle$ при заданном E/P . Подбирая величину Pd так, чтобы выполнялось (5), определялась точка на кривой Пашена.

Анализ результатов расчета показал, что коэффициент ионизации газа α определяется не только локальным значением параметра E/P , который постоянен по промежутку, но и расстоянием, пройденным электроном в электрическом поле, а также процессами на аноде. На рис. 3 приведены зависимости коэффициента α от x для $E/P = 6 \cdot 10^3$ (а) и $1.5 \cdot 10^4$ В/м·Па (б). Под α здесь понимается отношение числа актов ионизации в небольшом интервале Δx к числу всех электронов (с учетом вторичных), попадавших в Δx . Вблизи катода наблюдается максимум α , связанный с максимумом зависимости сечения ионизации σ_i электронным ударом от энергии. С увеличением x ионизирующая способность электронов монотонно уменьшается и формируется пучок убегающих электронов, который неупруго отражается от анода. Отраженные электроны тормозятся электрическим полем, их энергия уменьшается, что приводит к аномальному росту α вблизи анода. Отметим, что при больших E/P разница между максимальной и минимальной величиной α по промежутку возрастает.

Нелокальность ионизации газа электронным ударом оказывает существенное влияние и на другие ионизационные процессы. Развитие ионной лавины (при $\beta = \text{const}$) определяется расстоянием, пройденным ионом в электрическом поле. Расчеты показали, что вклад ионизации ионами и быстрыми атомами определяется не только процессами в объеме, но и вторичной электронной эмиссией на аноде. Причем наибольший вклад в \bar{n}_a дают лавины, инициируемые ионами, образовавшимися у анода в результате ионизации газа электронами, неупруго отразившимися от анода. Вклад различных процессов в (5) иллюстрируется с помощью таблицы, где приведены результаты расчетов \bar{n}_k и $\langle \gamma_k \rangle$ для Pd и E/P , типичных в левой ветви кривой Пашена.

Отметим, что во всем рассмотренном диапазоне E/P вклад объемной ионизации ионами и быстрыми атомами газа был значительно меньше доли объемной ионизации электронами. С увеличением E/P доля \bar{n}_e увеличивается. Поэтому возможно, что при достаточно больших напряжениях на промежутке (порядка

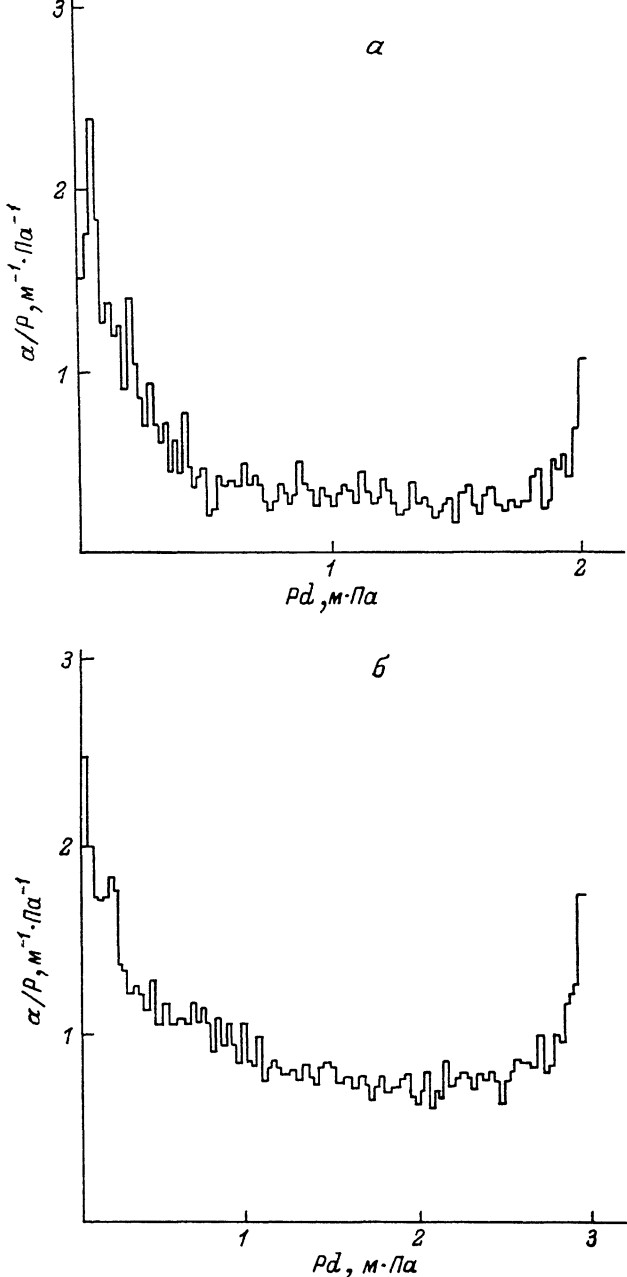


Рис. 3. Зависимость первого коэффициента Таунсендда для гелия, рассчитанная методом Монте—Карло, по разрядному промежутку.

100 кВ) основным механизмом объемной ионизации газа в таунсендовском разряде является ионизация ионами и быстрыми атомами, предложенная в [6].

При E/P более $1.5 \cdot 10^3$ В/м·Па резко уменьшается средняя по промежутку частота ионизации электронным ударом. Величина $\langle \gamma_i \rangle$ при этом изменяется слабо. В самом деле, средняя энергия ионов в этом диапазоне E/P составляет величины 10–100 эВ, что соответствует потенциальному механизму вырывания электронов, при котором $\gamma_i \approx \text{const}$. Кинетический механизм вырывания элек-

E/P , В/м · Па	Pd , м · Па	$\langle \gamma_i \rangle$	$\langle \gamma_a \rangle$	$\langle \gamma_m \rangle$	γ	n_a	n_e	β/P , м ⁻¹ · Па ⁻¹
$0.75 \cdot 10^3$	1.46	0.25	0.017	0.004	0.27	0.037	4.03	0.0115
$1.125 \cdot 10^3$	2.26	0.25	0.045	0.014	0.31	0.16	4.27	0.025
$1.5 \cdot 10^3$	2.39	0.25	0.085	0.022	0.36	0.17	3.04	0.044
$2.25 \cdot 10^3$	2.53	0.25	0.22	0.035	0.51	0.26	2.15	0.085
$3.57 \cdot 10^3$	2.13	0.306	0.53	0.050	0.88	0.19	1.08	0.173
$6 \cdot 10^3$	2.00	0.339	0.97	0.075	1.38	0.135	0.51	0.315

tronov (у которого γ возрастает) возможен, если энергия ионов более 100 эВ [18]. Для таких ионов в энергетическом распределении мала. Рассмотрим другие механизмы увеличения при больших E/P эффективной величины второго коэффициента Таунсенда. С увеличением средней энергии ионов и быстрых атомов возрастает вероятность возбуждения ими метастабильных электронных уровней гелия и соответственно γ -процессов на катоде с участием метастабильных атомов. В таблице приведены расчеты эффективной величины коэффициента эмиссии за счет метастабильных атомов $\langle \gamma_m \rangle$. Оказалось, что вклад этого процесса в эмиссию электронов с катода во всех расчетах мал.

Наибольший вклад в γ , как показали расчеты, дает эмиссия под воздействием ударов быстрых атомов. Для атомов отсутствует механизм потенциального вырывания, а вероятность кинетического вырывания приближительно равна соответствующей величине для ионов. Однако число быстрых атомов значительно больше (поскольку $\sigma_a \gg \sigma_g$). Поэтому увеличение эффективного коэффициента γ связано с кинетическим вырыванием электронов быстрыми атомами.

По результатам расчетов были построены кривые Пашена. На рис. 4 приведены две кривые Пашена, рассчитанные для гелия с учетом эмиссии электронов при бомбардировке поверхности катода быстрыми атомами (1) и без учета этого процесса (2). Отметим также удовлетворительное согласие кривой 1 с экспериментально измеренной. Эксперимент: 3 — [3], 4 — [4].

4. Расчеты показали, что сложный вид левой ветви кривой Пашена в гелии объясняется конкуренцией ионизации газа электронным ударом и эмиссии электронов под действием соударений с поверхностью катода быстрых атомов. Относительная доля этих процессов в поддержании тока через разрядный промежуток определяется параметром E/P . Сечение ионизации газа электронным ударом немонотонно, его максимальная величина соответствует энергии электронов $\varepsilon \sim 100$ эВ. В случае $\gamma \approx \text{const}$ при уменьшении Pd уменьшается число столкновений, и для того чтобы удовлетворить условие пробоя (5), необходимо увеличивать ионизирующую способность электронов за счет увеличения электрического поля. Однако ионизирующая способность электронов, пропорциональная σ_e , не увеличивается неограниченно. Она достигает своего максимального значения при $\varepsilon \sim 100$ эВ и далее с ростом E/P уменьшается. При значении Pd меньше определенной величины, соответствующей $(E/P)_k$, разряд не зажигается. Оказалось, что каждому значению Pd при $\gamma = \text{const}$ соответствуют два значения U_3 , относящиеся к двум ветвям кривой Пашена верхней и нижней (кривая 2 на рис. 4), для которых равны средние числа ионов, образовавшихся при прохождении электроном промежутка, и отличающиеся друг от друга значением E/P . Казалось бы, такой вид зависимости $U_3(Pd)$ должен иметь место для всех газов. Однако за редким исключением, к которым относится гелий, коэффициент γ начинает изменяться уже для значений E/P , соответствующих нижней ветви $U_3(Pd)$. Коэффициент электронной эмиссии γ_a имеет порог, соответствующий энергии быстрых атомов $\varepsilon_{an} \approx 100 - 200$ эВ [18].

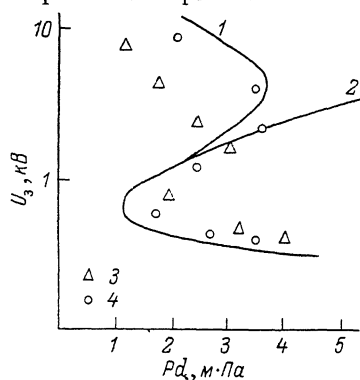


Рис. 4. Кривые Пашена для гелия.

Величина $(E/N)_n$, при которой энергия быстрых атомов будет порядка пороговой, определяется произведением $\varepsilon_{\text{ан}} \sigma_n$. В зависимости от рода газа точка, соответствующая $(E/P)_n$, находится как на верхнем, так и на нижнем участках кривой I. В первом случае имеет место аномальный вид кривой Пашена, во втором — обычная кривая Пашена.

Предыдущая работа в этой области [6] носила качественный характер. Предложенная в [6] модель левой ветви кривой Пашена справедлива в области значительно меньших значений Pd , при которых наблюдается аномальный вид кривой $U_3(Pd)$. Это связано с тем, что в настоящее время отсутствуют теоретические модели, позволяющие удачно рассчитать энергетическое распределение электронов и, следовательно, коэффициент α в нужном диапазоне E/P : от области, где $\lambda \gg \lambda_e$, и распределение электронов близко к изотропному, до области $\lambda \ll \lambda_e$, где электроны имеют δ -образную функцию распределения по энергиям (пучок), а их энергия соответствует пройденной разности потенциалов. Численное моделирование движения электронов методом Монте—Карло позволило в данной работе преодолеть эту трудность, количественно оценить вклад разных процессов в условие зажигания и создать модель разряда в левой ветви кривой Пашена.

Литература

- [1] Townsend J. S. Electricity in gases. Oxford University Press, London, 1915.
- [2] Мик Дж., Крээс Дж. Электрический пробой в газах. М.: ИЛ, 1960. 605 с.
- [3] Дикиджи А. Н., Клярфельд Б. Н. ЖТФ, 1955, т. 25, № 1, с. 1038—1044.
- [4] Гусеев Л. Г. ЖТФ, 1970, т. 40, № 11, с. 2253—2256.
- [5] Ульянов К. Н., Чулков В. В. ТВТ, 1985, т. 23, с. 673—676.
- [6] Ульянов К. Н. ЖТФ, 1970, т. 40, № 10, с. 2138—2146.
- [7] Iton T., Mugha T. J. Phys. Soc. Japan, 1960, v. 15, N 9, p. 1672—1680.
- [8] Каминский М. Атомные и ионные столкновения на поверхности металла. М.: Мир, 1967. 506 с.
- [9] Бронштейн И. М., Фрайман Б. С. Вторичная электронная эмиссия. М.: Наука, 1969. 407 с.
- [10] Boeuf J. P., Marode E. J. Phys. D, 1982, v. 15, N 11, p. 2169—2187.
- [11] La Bahn R. W., Callaway J. Phys. Rev. A, 1970, v. 2, N 2, p. 366—369.
- [12] La Bahn R. W., Callaway J. Phys. Rev., 1969, v. 180, N 1, p. 91—96.
- [13] Алхазов Г. Д. ЖТФ, 1970, т. 40, № 1, с. 97—106.
- [14] Kieffer L. J., Gordon H. F. Rev. Mod. Phys., 1966, v. 38, N 1, p. 1—35.
- [15] Peterson W. K., Beatty E. C., Opal C. B. Phys. Rev. A, 1972, N 2, p. 712—723.
- [16] Грановский В. Л. Электрический ток в газе. М.; Л., 1952, т. 1. 432 с.
- [17] Каган Ю. М., Перель Б. И. ДАН СССР, 1954, т. 98, № 4, с. 575—578.
- [18] Hayclen H. C., Utterback N. G. Phys. Rev., 1964, v. 135, N 6A, p. A1575—1579.
- [19] McVicar-Wheeler P. I., Borst W. I. Phys. Rev. A, 1970, v. 1, N 2, p. 314—318.
- [20] Dutton J. J. Phys. Chem. Ref. Date, 1975, v. 4, N 3, p. 577—856.
- [21] Chanin L. M., Rork G. D. Phys. Rev., 1964, v. 133, N 4A, p. 1005—1009.

Всесоюзный электротехнический
институт им. В. И. Ленина

Москва

Поступило в Редакцию
16 декабря 1986 г.

В окончательной Редакции
2 октября 1987 г.